

9. *Эйзенхарт Л. П.* Риманова геометрия. М., 1948.
10. *Кобаяси Ш., Номидзу К.* Основы дифференциальной геометрии. М., 1991. Т. 1.
11. *Постников М. М.* Дифференциальная геометрия. Семестр IV. М., 1988. С. 167.

S. Stepanov, I. Tsyganok, J. Mikeš

Liouville type theorem about projective mapping
of complete Riemannian manifold

In the present paper we prove a vanishing theorem for projective diffeomorphisms of a Riemannian complete manifolds. We will use the well-known Yau Liouville type theorem for complete Riemannian manifolds.

Key words: complete Riemannian manifold, projective diffeomorphism.

УДК 514.75

М. А. Чешкова

Алтайский государственный университет, Барнаул
cma@math.asu.ru

Инверсия скрещенного колпака и римской поверхности

Если вдоль некоторой замкнутой кривой на поверхности локальная ориентация в касательном пространстве меняет знак, то поверхность называется односторонней. Простейшей односторонней поверхностью является лист Мёбиуса. К односторонним поверхностям относится также скрещенный колпак, римская поверхность, скрещенный колпак с крышкой являются моде-

лями проективной плоскости. Изучается инверсия римской поверхности и скрещенного колпака. С помощью системы компьютерной математики строятся рассматриваемые поверхности.

Ключевые слова: скрещенный колпак, лист Мёбиуса, римская поверхность, проективная плоскость, инверсия.

Впервые уравнение односторонней поверхности, открытой Мёбиусом, было получено Машке [1]. Если гауссова кривизна листа Мёбиуса равна нулю, то он называется плоским. Библиография работ на эту тему дана в работе [2]. В [3—6] изучаются односторонние поверхности.

Если на поверхности в E^n существует замкнутая кривая (дезориентирующий контур), обладающая тем свойством, что при ее обходе локальная ориентация в касательном пространстве меняет знак, то поверхность называется односторонней.

В евклидовом пространстве рассмотрим две гладкие вектор-функции $s = s(u)$, $l = l(u)$, $u \in [-\pi, \pi]$, $v \in [-\pi, \pi]$. Предполагается, что $s = s(u)$ есть 2π -периодическая, $l = l(u)$ есть 2π -антипериодическая функции, и векторное произведение $[s'(u), l(u)] \neq 0$.

Определим поверхность P уравнением

$$r(u, v) = (1 + \cos(v))s(u) + \sin(v)l(u), \quad (1)$$

$$u \in [-\pi, \pi], \quad v \in [-\pi, \pi].$$

Теорема 1. *Поверхность P определяет модель проективной плоскости, а линия $r = 2s(u)$ есть дезориентирующий контур поверхности.*

Доказательство. Рассмотрим проективную плоскость как фактор-пространство [7, с. 75]

$$[-\pi, \pi]X[-\pi, \pi] / [(-\pi, -v) \approx (\pi, v), (-u, -\pi) \approx (u, \pi)].$$

Так как $s(u + 2\pi) = s(u)$, $l(u + 2\pi) = -l(u)$, то $r(-\pi, -v) = r(\pi, v)$, $r(-u, -\pi) = r(u, \pi)$, и поверхность P определяет модель проективной плоскости. Из (1) следует

$$\begin{aligned} r_u &= (1 + \cos(v))s'(u) + \sin(v)l'(u), \\ r_v &= -\sin(v)s(u) + \cos(v)l(u). \end{aligned}$$

Исследуем вектор нормали $n = [n_u, n_v]$. Имеем

$$\begin{aligned} n &= [r_u, r_v] = \cos(v)(1 + \cos(v))[s'(u), l(u)] + \\ &+ \sin(v)\cos(v)[l(u), l'(u)], \end{aligned} \quad (2)$$

$$n(u, 0) = 2[s'(u), l(u)], \quad n(u + 2\pi, 0) = -2[s'(u), l(u)].$$

Откуда следует, что кривая $r(u, 0) = 2s(u)$ есть дезориентирующий контур.

Рассмотрим инверсию

$$r^* - r_0 = \frac{m^2(r - r_0)}{\langle r - r_0, r - r_0 \rangle} \quad (3)$$

относительно сферы радиуса m с центром r_0 .

Теорема 2. *Если поверхность P не проходит через центр инверсии, то инверсия поверхности P есть модель проективной плоскости. Дезориентирующий контур при инверсии переходит в дезориентирующий контур.*

Доказательство. Обозначим $\phi = \langle r - r_0, r - r_0 \rangle$.

Так как $\varphi(-\pi, -v) = \varphi(\pi, v)$, $\varphi(-u, -\pi) = \varphi(u, \pi)$ и $r^*(-\pi, -v) = r^*(\pi, v)$, $r^*(-u, -\pi) = r^*(u, \pi)$, то поверхность $r^* = r^*(u, v)$ является моделью проективной плоскости.

Имеем

$$r_u^* = -\frac{m^2}{\phi^2}\phi_u(r - r_0) + \frac{m^2}{\phi}r_u, \quad r_v^* = -\frac{m^2}{\phi^2}\phi_v(r - r_0) + \frac{m^2}{\phi}r_v,$$

$$\begin{aligned}
 n^* = [r_u^*, r_v^*] &= -\frac{m^4}{\phi^3} \phi_u [r - r_0, r_v] - \frac{m^4}{\phi^3} \phi_v [r_u, r - r_0] + \\
 &+ \frac{m^4}{\phi^2} [r_u^*, r_v^*], \phi_u = 2 \langle r_u, r - r_0 \rangle, \phi_v = 2 \langle r_v, r - r_0 \rangle.
 \end{aligned} \tag{4}$$

Полагаем $v = 0$, получим

$$\begin{aligned}
 r &= 2s(u), \quad r_u = 2s'(u), \quad r_v = 0, \\
 \phi &= 4 \langle s(u), s(u) \rangle - 4 \langle s(u), r_0 \rangle + \langle r_0, r_0 \rangle, \\
 \phi_u &= 2 \langle 2s'(u), 2s(u) - r_0 \rangle, \quad \phi_v = 2 \langle 2l(u), 2s(u) - r_0 \rangle, \\
 \phi(u + 2\pi) &= \phi(u), \quad \phi_u(u + 2\pi) = \phi_u(u), \quad \phi_v(u + 2\pi) = -\phi_v(u), \\
 r_u(u + 2\pi) &= r_u(u), \quad r_v(u + 2\pi) = -r_v(u).
 \end{aligned}$$

Из (3) и (4) следует $n^*(u + 2\pi, 0) = -n^*(u, 0)$. Теорема доказана.

Исследуем поверхности, когда P есть скрещенный колпак с крышкой, и P есть римская поверхность.

Пример 1. Поверхность P есть скрещенный колпак с крышкой.

Положим в (1)

$$\begin{aligned}
 s(u) &= (\cos(u), \sin(u), 0), \\
 l(u) &= (\cos(u) \cos(u/2), \sin(u) \cos(u/2), \sin(u/2)).
 \end{aligned}$$

Имеем

$$\begin{aligned}
 r(u, v) &= (1 + \cos(v))(\cos(u), \sin(u), 0) + \\
 &+ \sin(v)(\cos(u) \cos(u/2), \sin(u) \cos(u/2), \sin(u/2)).
 \end{aligned} \tag{5}$$

Обозначим заданную поверхность через K , а дезориентирующий контур через dk . Из теоремы 1 следует, что окружность $r = 2s(u)$ есть дезориентирующий контур поверхности K .

Итак,

$$dk : r = r(u, 0) = 2(\cos(u), \sin(u), 0). \tag{6}$$

Поверхность имеет пересечение — отрезок прямой

$$pk : r = r(0, v) = (1 + \cos(v) + \sin(v))(1, 0, 0). \quad (7)$$

Построим их (дезорентирующий контур — светлый).

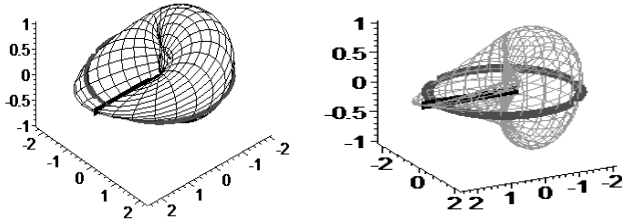


Рис. 1. Поверхность K и кривые pk, dk

Рассмотрим инверсию (3). Для поверхности K обозначим поверхность $r^* = r^*(u, v)$ через K^* , а кривую $r^* = r^*(0, v)$ — через pk^* . Определим их и построим.

Положим $r_0 = (1, 1, 1)$, $m = 2$. Тогда

$$pk^* = \frac{4}{3 + 2 \cos(v) \sin(v)} (\sin(v) + \cos(v), -1, -1) + (1, 1, 1), \quad (8)$$

$$dk^* = \frac{4}{7 - 4 \cos(u) - 4 \sin(u)} (2 \cos(u) - 1, 2 \sin(u) - 1, -1) + (1, 1, 1).$$

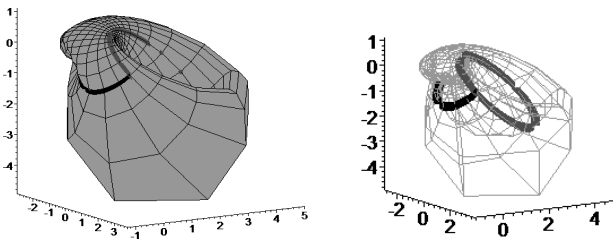


Рис. 2. Поверхность K^* и кривые pk^*, dk^*

Пример 2. Римская поверхность. Положим в (1)

$$s(u) = (0, 0, -1/4 \sin(u)), \quad l(u) = (1/2 \cos(u/2), 1/2 \sin(u/2), 0).$$

Имеем

$$r(u, v) = (1 + \cos(v))(0, 0, -1/4 \sin(u)) + \sin(v)(1/2 \cos(u/2), 1/2 \sin(u/2), 0). \quad (9)$$

Линия $r = s(u)$ у этой поверхности есть отрезок прямой. В прямоугольных координатах данная поверхность определяется уравнением: $y^2 z^2 + z^2 x^2 + x^2 y^2 + xyz = 0$. Мы получили римскую поверхность Штейнера [3, с. 302]. Построим ее.

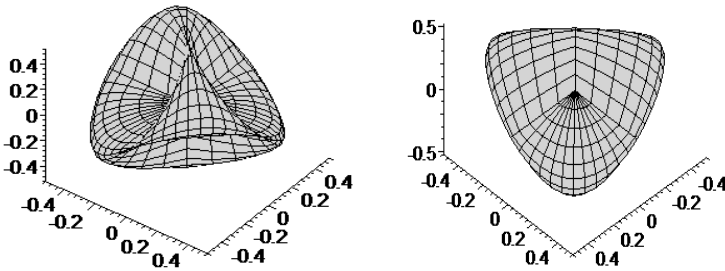


Рис. 3. Римская поверхность

Обозначим рассматриваемую поверхность через R . Римская поверхность имеет три отрезка прямых

$$\begin{aligned} pr1 : r &= r(0, v) = \frac{1}{2} \sin(v)(1, 0, 0), \\ pr2 : r &= r(\pi, v) = \frac{1}{2} \sin(v)(0, 1, 0), \\ dr : r &= r(u, 0) = -\frac{1}{2} \sin(u)(0, 0, 1). \end{aligned} \quad (10)$$

Построим их.

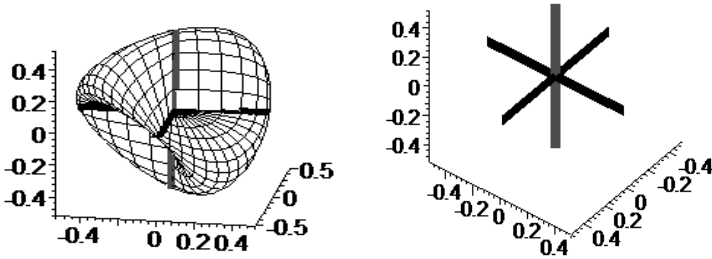


Рис. 4. Римская поверхность и кривые $pr1, pr2, dr$

Конечные точки отрезков $pr1, pr2, dr$ есть критические точки поверхности. Построим, например, фрагмент поверхности в окрестности точки $r(0, \pi/2)$.

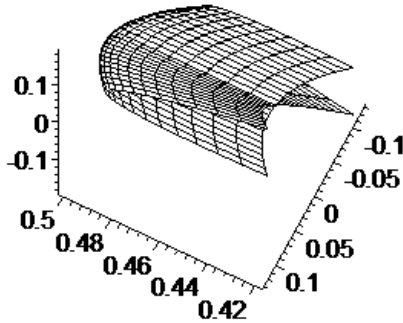


Рис. 5. Фрагмент римской поверхности
 $u \in [-\pi/6, \pi/6], v \in [\pi/2 - \pi/6, \pi/2 + \pi/6]$

Поверхность в окрестности критической точки имеет вид зонтика Уитни — Кэли [8, с. 229]. Такие точки называются точками пинча.

Для поверхности R обозначим поверхность $r^* = r^*(u, v)$ через R^* , а кривые $r^* = r^*(0, v)$, $r^* = r^*(\pi, v)$, $r^* = r^*(u, 0)$ через $pr1^*, pr2^*, dr^*$.

Замечаем, что если центр инверсии не принадлежит ни одной из прямых, содержащих отрезки $pr1$, $pr2$, dr , то кривые $pr1^*$, $pr2^*$, dr^* являются дугами окружностей. Если центр инверсии находится на прямой, содержащей один из этих отрезков, но не на отрезке, то кривые $pr1^*$, $pr2^*$, dr^* являются: одна — прямой, две другие — дугами окружностей. Рассмотрим примеры построения поверхности R^* и кривых $pr1^*$, $pr2^*$, dr^* .

Пример 1. Положим $r_0 = (1, 1, 1)$, $m = 2$. Тогда

$$pr1^* = \frac{4}{1/4 \sin^2(v) - \sin(v) + 3} (1/2 \sin(v) - 1, -1, -1) + (1, 1, 1),$$

$$pr2^* = \frac{4}{1/4 \sin^2(v) - \sin(v) + 3} (-1, 1/2 \sin(v) - 1, -1) + (1, 1, 1),$$

$$dr^* = \frac{4}{1/4 \sin^2(u) + \sin(u) + 3} (-1, -1, -1/2 \sin(u)) + (1, 1, 1).$$

Построим поверхность R^* и кривые $pr1^*$, $pr2^*$, dr^* .

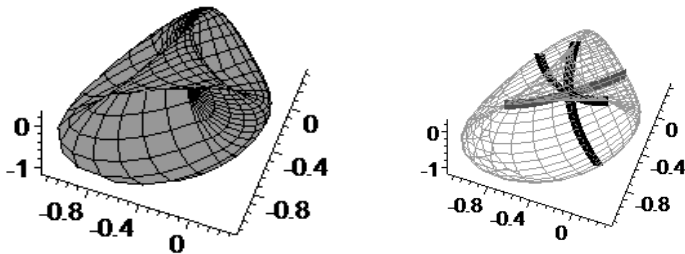


Рис. 6. Поверхность R^*
и кривые $pr1^*$, $pr2^*$, dr^* , $r_0 = (1, 1, 1)$, $m = 2$

Пример 2. Положим $r_0 = (1, 0, 0)$. Тогда

$$pr1^* = \frac{4}{1/4 \sin^2(v) - \sin(v) + 1} (1/2 \sin(v) - 1, 0, 0) + (1, 0, 0),$$

$$pr2^* = \frac{4}{1/4 \sin^2(v) + 1} (-1, 1/2 \sin(v), 0) + (1, 0, 0),$$

$$dr^* = \frac{4}{1/4 \sin^2(u) + 1} (-1, 0, -1/2 \sin(u)) + (1, 0, 0).$$

Построим поверхность R^* и кривые $pr1^*$, $pr2^*$, dr^* .

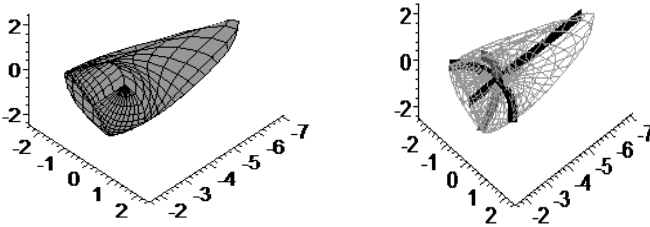


Рис. 7. Поверхность R^* и кривые $pr1^*$, $pr2^*$, dr^* , $r_0 = (1, 0, 0)$, $m = 2$

При инверсии критические точки перейдут в критические точки. Построим фрагмент поверхности R^* в окрестности точки $r^*(0, \pi/2)$.

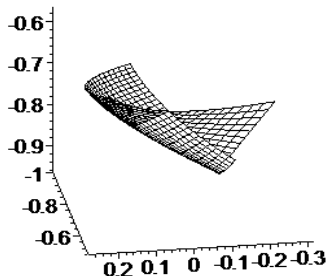


Рис. 8. Фрагмент поверхности $r = r^*(u, v)$, $u \in [-\pi/6, \pi/6]$, $v \in [\pi/2 - \pi/6, \pi/2 + \pi/6]$

Список литературы

1. *Mashke H.* Note on the unilateral surface of Moebius // Trans. Amer. Math. Sos. 1900. Vol. 1:1.
2. *Сабитов И.Х.* Изометрические погружения и вложения плоского листа Мёбиуса в евклидовы пространства // Известия РАН. 2007. Т. 71, №5. С. 197—224.
3. *Кривошапко С.Н., Иванов В.Н., Халаби С.М.* Аналитические поверхности. М., 2006.
4. *Гильберт Д., Кон-Фоссен С.* Наглядная геометрия. М., 1981.
5. *Чешкова М.А.* О бутылке Клейна // Известия Алтайского университета. Барнаул, 2012. № 1/1. С. 130—135.
6. *Чешкова М.А.* Обмотка тора и лист Мёбиуса : сб. тр. 17 региональной конференции по математике. МАК. Барнаул, 2014. С. 37—40.
7. *Борисович Ю.Г., Близняков Н.М., Израилевич Я.А., Фоменко А.Т.* Введение в топологию. М., 1995.
8. *Арнольд В.И.* Теория катастроф // Современные проблемы математики. Фундаментальные направления / ВИНТИ. М., 1985. Т. 5 : Итоги науки и техники. С. 219—227.

M. Cheshkova

Inversion Cross-cap and Roman surface

If along a closed curve on the surface the local orientation of the tangent space changes sign, then the surface is called a one-sided surface. The simplest one-sided surface is the Möbius band. Cross-cap, Roman surface are also one-sided surfaces, The Roman surface, cross-cap are models of the projective plane. We study the inversion of the Roman surface and cross-cap. We constructed in the space model for Cross-cap and Roman surface with a help of mathematical package.

Key words: crossed cap, Möbius band, Roman surface, projective plane, inversion.